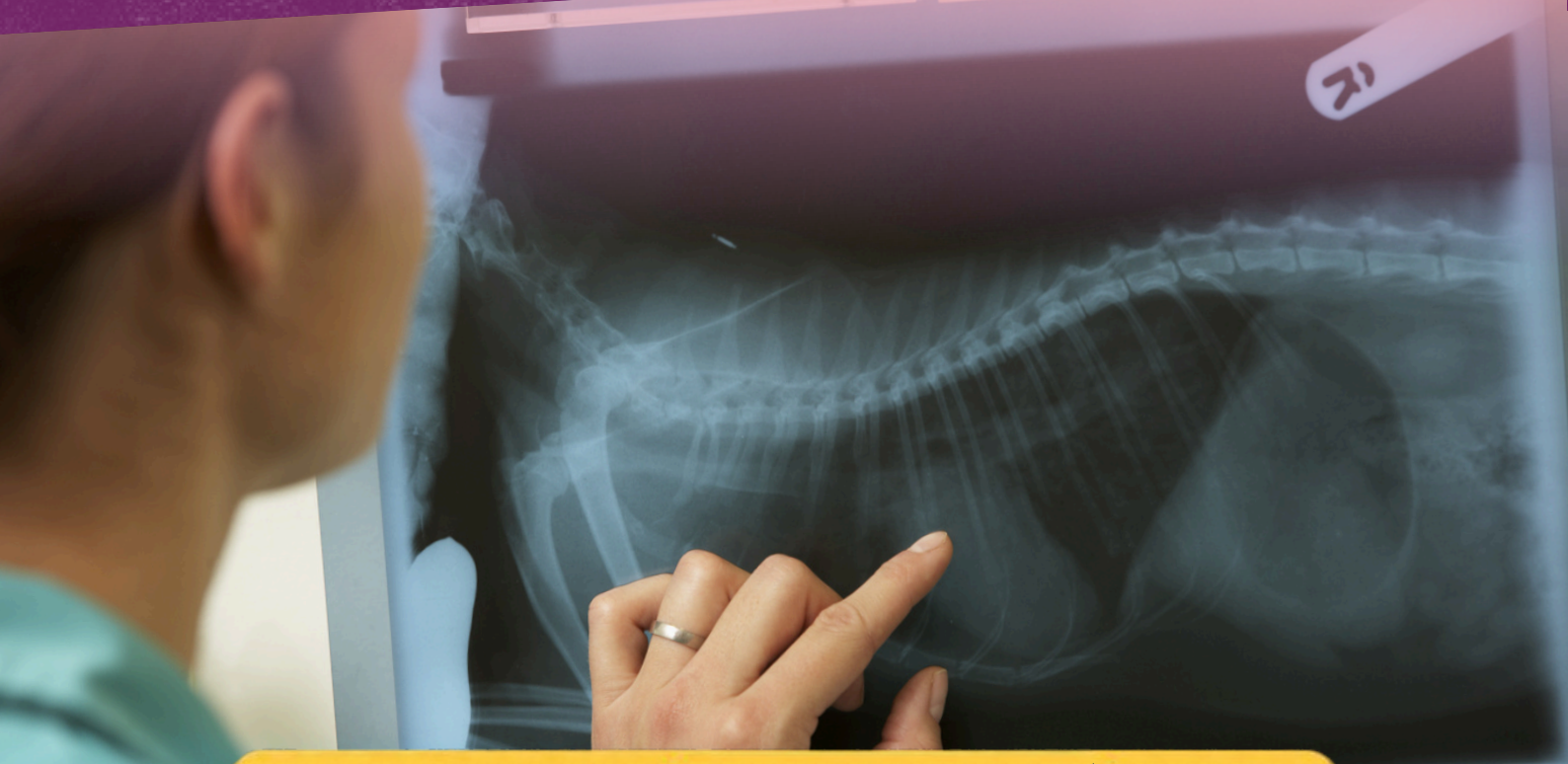


FOCO: RESIDÊNCIAS ESPECÍFICAS

1000

QUESTÕES COMENTADAS

DIAGNÓSTICO POR IMAGEM

800 ESPECÍFICAS | 200 DE SUS

QUESTÕES DE RESIDÊNCIA VET

CONTEÚDO ATUALIZADO

PREPARATÓRIO R1 VET

GRUPO PEV

© PREPARATÓRIO R1 VET | TODOS OS DIREITOS RESERVADOS. A RESPONSABILIDADE PELOS DIREITOS AUTORAIS DE TEXTO E IMAGENS DESTA OBRA SÃO DOS AUTORES. PROIBIDO O REPASSE SOB FINS COMERCIAIS OU NÃO, BEM COMO REPRODUÇÃO TOTAL OU PARCIAL, SEM AUTORIZAÇÃO (LEI Nº 9610/98).

MÓDULO

1000 QUESTÕES COMENTADAS - DIAGNÓSTICO POR IMAGEM

ORGANIZADORES

GRUPO PREPARATÓRIO R1 VET

PROJETO GRÁFICO

MARIA CLARA COSTA F. DO NASCIMENTO

REDAÇÃO

INGRID BULHÕES PIMENTA
RENATA MARIA NASCIMENTO DA SILVA

REVISÃO

INGRID BULHÕES PIMENTA
RENATA MARIA NASCIMENTO DA SILVA
COSME NOGUEIRA DA SILVA
MARIA CLARA COSTA F. DO NASCIMENTO

DÚVIDAS SOBRE O MATERIAL? FALE CONOSCO ATRAVÉS DOS CANAIS:

E-MAIL: preparatorior1vet@gmail.com
WHATSAPP: 61 9 9907-9874
INSTAGRAM: @preparatorioR1Vet

SOBRE O GRUPO

PREPARATÓRIO R1 VET

A nossa empresa foi idealizada por Médicos(as) Veterinários(as) que perceberam que o caminho até a residência não precisava ser algo complicado ou solitário. Em vista disso, desenvolvemos os nossos produtos pensando sempre em proporcionar o máximo de diretividade, conferindo todo o suporte técnico do qual você precisa para lograr sucesso no seu objetivo em se tornar um(a) futuro(a) R1.

MISSÃO

Ser a ponte que liga os(as) nossos(as) alunos(as)
à concretização do sonho da residência.

VALORES

Comunicação transparente, produtos diretivos, crescimento coletivo e foco nas necessidades dos(as) alunos(as).

CONTATE-NOS

preparatorior1vet@gmail.com

© Preparatório ENARE Vet | Todos os direitos reservados. A responsabilidade pelos direitos autorais de texto e imagens desta obra são dos autores. Proibido o repasse sob fins comerciais ou não, bem como reprodução total ou parcial, sem autorização (Lei nº 9610/98).

Diagnóstico Por Imagem

1. (UFCG 2015) Qual é a melhor definição para ultrassom?
(A) São ondas sonoras cuja frequência é percebida pelo ouvido humano, entre 20 Hz – 20.000 Hz;
(B) São ondas sonoras cuja frequência é inferior aquela percebida pelo ouvido humano, abaixo de 20 Hz;
(C) São ondas sonoras cuja frequência é superior àquela percebida pelo ouvido humano, superior a 20 KHz;
(D) São ondas sonoras cuja frequência é superior aquela percebida pelo ouvido humano, igual a 20 Hz;
(E) São ondas sonoras cuja frequência não é percebida pelo ouvido humano, entre 20 Hz – 20.000 Hz.

2. (UFERSA 2017) Sobre conceitos básicos para obtenção de radiografias: A intensidade de um feixe de raios X (raio X/unidade de área) muda conforme o quadrado da distância. Portanto, ao diminuir a distância entre a fonte de raio X e o filme por um fator igual a dois, a:
(A) A intensidade é duplicada, ou seja, é multiplicada pelo dobro da diferença da distância;
(B) A intensidade não é duplicada, ou seja, é somada pelo dobro da diferença da distância;
(C) A intensidade é quadruplicada, ou seja, é somada pelo quadrado da diferença da distância;
(D) A intensidade não é quadruplicada, mas sim duplicada, ou seja, é multiplicada pelo quadrado da diferença da distância;
(E) A intensidade não é duplicada, mas sim quadruplicada, ou seja, é multiplicada pelo quadrado da diferença da distância.

3. (UFF 2020) As formas de interação da onda sonora com os tecidos são:
(A) Atenuação e reverberação.
(B) Atenuação e absorção.
(C) Absorção e empilhamento.
(D) Empilhamento e efeito piezoelétrico.

4. (UFCG 2025) A lama biliar é uma suspensão viscosa intravesicular, identificada no exame ultrassonográfico como sedimento com baixa ecogenicidade e sem formação de sombra acústica; entretanto, esses achados podem ser confundidos com?
(A) Colite.
(B) Colelitíase.
(C) Mucocele.
(D) Colecistite.
(E) Colangiohepatite.

5. (UFMG 2023) As projeções radiográficas são representações bidimensionais baseadas na representação dos planos anatômicos. Sobre projeções radiográficas, é CORRETO afirmar:
(A) Em uma projeção latero-lateral são representados os planos dorsal/ventral e cranial/caudal.
(B) Em uma projeção ventrodorsal são representados os planos dorsal/ventral e cranial/caudal.
(C) As projeções ventrodorsal e dorsoventral são consideradas ortogonais.
(D) As projeções craniocaudal e caudocranial são iguais.

6. (UFPR 2020) Ao exame ultrassonográfico abdominal de uma cadela, com 6 anos de idade e histórico de hiporexia, prostração e vômito, foi detectado estrutura tubular, com parede fina e sem definição da estratificação parietal, preenchida por conteúdo hipoecogênico com alguns debris ecogênicos entremeados, e localizada cranioventralmente à bexiga urinária. Com base na descrição clínica e nos achados ultrassonográficos, o diagnóstico diferencial mais provável é:
(A) Obstrução intestinal.
(B) Torção do cólon descendente.
(C) Retenção de sítios placentários.

(D) Piometra.
(E) Hiperplasia endometrial cística.

7. (UFF - 2026) Cão, Shih-Tzu, 11 anos, macho castrado apresenta aumento abdominal, sendo encaminhado para o exame ultrassonográfico que detecta adrenomegalia bilateral com alteração da forma e hipoecogenicidade. A impressão diagnóstica é neoplasia das adrenais. Assim sendo, indique os vasos sanguíneos que devem ser investigados para confirmar ou descartar a presença de trombos nas adrenais.
(A) Artéria ilenal e veia cava caudal.
(B) Artéria frênicoabdominal e artéria pancreatoduodenal.
(C) Veia frênicoabdominal e veia cava caudal.
(D) Artéria aorta e artéria renal direita.

8. (UFERSA 2018) São considerados artefatos ultrassonográficos, exceto:
(A) Sombra acústica.
(B) Reverberação posterior.
(C) Refração.
(D) Janela acústica.
(E) Reforço acústico.

9. (UFERSA 2018) Nas radiografias abdominais em projeção lateral direita e ventrodorsal de um cão, pode se visibilizar, respectivamente:
(A) Fundo gástrico radioluscente e junção cecocólica em região média direita.
(B) Fundo gástrico radiopaco e junção cecocólica em região ventral direita.
(C) Piloro radioluscente e junção cecocólica em região média esquerda.
(D) Piloro radioluscente e junção cecocólica em região média direita.
(E) Fundo gástrico radioluscente e junção cecocólica em região dorsal direita.

10. (UFERSA 2018) Clinicamente, em alguns animais, a detecção gestacional pode ser dificultada por sobrepeso, ou mesmo pelo comportamento da mãe. Entretanto, em canis de reprodução, a ultrassonografia gestacional é bastante utilizada com a finalidade de acompanhamento e predição do dia do parto. Após o acasalamento é indicada a realização desse exame a partir de:
(A) 10 dias.
(B) 15 dias.
(C) 30 dias.
(D) 40 dias.
(E) Nenhuma das alternativas anteriores.

11. (UFF 2019) Em relação à composição e radiopacidade dos cálculos vesicais no estudo radiográfico abdominal, é correto afirmar que cálculos de:
(A) Oxalato de cálcio e sílica são radiotransparentes.
(B) Urato são radiopacos.
(C) Cistina são radiotransparentes, podendo apresentar pontos radiopacos.
(D) Fosfato triplo são radiopacos, podendo ser radiotransparentes quando pequenos.

12. (UFF 2019) Ao avaliar a ecogenicidade relativa de estruturas comumente encontradas na cavidade abdominal,
(A) O gás é hiperecogênico em relação a gordura de armazenamento.
(B) O baço é hiperecogênico em relação à próstata.
(C) A medula renal apresenta ecogenicidade maior ou igual a do fígado.
(D) A urina é hiperecogênica em relação ao seio renal.

@preparatorior1vet

13. (UFF 2019) A técnica radiográfica contrastada do trato urinário superior de cães é denominada:
(A) Clister opaco.
(B) Pneumocistografia.
(C) Urografia excretora.
(D) Pneumorenografia secretora.

14. (UFF 2019) A ecogenicidade da porção muscular e da mucosa da parede intestinal de cães são respectivamente:
(A) Hipoecogênica e hiperecogênica.
(B) Hipoecogênica e hipoecogênica.
(C) Hiperecogênica e hipoecogênica.
(D) Hiperecogênica e hiperecogênica.

15. (UFG-2022) Leia o relato do caso a seguir:
Cão, pastor alemão, macho, seis meses de idade, com sinais clínicos de tumefações dolorosas de grau moderado, nas metáfises distais do rádio e da ulna, claudicação, andar relutante, febre, letargia e anorexia. Ao exame radiográfico bilateral, foram descritas linhas lucentes anormais (pseudofises) no interior das metáfises distais do rádio e da ulna, esclerose adjacente às pseudofises e remodelação periosteal.
De acordo com o relato, qual é o diagnóstico?
(A) Osteopatia hipertrófica.
(B) Osteodistrofia hipertrófica.
(C) Panosteíte.
(D) Osteocondrose.

16. (UFG-2022) Leia o relato do caso a seguir:
Gata, siamês, três anos de idade, com diagnóstico prévio de imunodeficiência viral felina e sinais clínicos associados a dispneia, taquipneia, perda de peso e anorexia. À radiografia de tórax, foram descritos aumento de opacidade difuso em mediastino cranial, causando deslocamento dorsal da traqueia e sobreposição com a margem cranial da silhueta cardíaca, padrão pulmonar infiltrativo intersticial e efusão pleural.
De acordo com o relato, qual é o diagnóstico?
(A) Linfoma.
(B) Cardiopatia.
(C) Timoma.
(D) Megaesôfago.

17. (UFRGS 2018) Em relação a avaliação ultrassonográfica do fígado e baço em pequenos animais, assinale a Letra *Correta*.
(A) O sedimento em vesícula biliar sempre é considerado alteração patológica.
(B) O fígado, em comparação com o baço, deve ter ecogenicidade acentuadamente maior e textura granular grosseira e difusa.
(C) Exame ultrassonográfico, em comparação ao radiográfico, é mais fácil e preciso para avaliar o tamanho do fígado.
(D) O baço deve ter textura granular delicada e homogênea, e a cápsula esplênica deve ser observada como margem hiperecóica.
(E) A ecogenicidade do fígado não deve ser comparada com a do rim, pois não há como avaliar essas duas estruturas de forma simultânea.

18. (UFRGS 2018) Assinale a alternativa que representa a sequência *correta* de radiopacidade (maior para menor) das substâncias/estruturas listadas abaixo.
1 - Osso.
2 - Metal.
3 - Água.

@preparatorior1vet

4 - Ar.
5 - Gordura.
(A) 3 – 4 – 1 – 5 – 2.
(B) 2 – 3 – 5 – 1 – 4.
(C) 2 – 1 – 3 – 5 – 4.
(D) 4 – 2 – 3 – 1 – 5.
(E) 5 – 1 – 4 – 2 – 3.

19. (UFRGS 2018) Considere as afirmações abaixo sobre avaliação ultrassonográfica da próstata em cães.
I. Bexiga urinária repleta deve ser utilizada como janela acústica/referência para localização da próstata, durante o exame ultrassonográfico.
II. Ecogenicidade diminuída e a ecotextura irregular são achados frequentes do exame ultrassonográfico da próstata em cães com hiperplasia prostática benigna.
III. Conteúdo anecóico e paredes lisas, assim como conteúdo hipoecóico e parede irregular, podem ser evidenciados no exame ultrassonográfico, quando houver abscesso prostático.
Quais estão *corretas*?
(A) Apenas I.
(B) Apenas II.
(C) Apenas I e III.
(D) Apenas II e III.
(E) I, II e III.

20. (UFRGS 2018) Com relação a avaliação ultrassonográfica dos rins e ureteres em pequenos animais, assinale a Letra *Correta*.
(A) Sinal medular renal é uma fina linha hiperecogênica separando/dividindo a região medular do rim da pelve renal.
(B) Ureter dilatado/aumento de diâmetro pode ser observado no exame ultrassonográfico de cães e gatos com ureter ectópico.
(C) Rins somente podem ser avaliados por meio desse exame com acesso abdominal ventral.
(D) Abscesso e neoplasia são alterações que promovem anormalidade difusa no parênquima renal ao exame ultrassonográfico.
(E) Cistos renais múltiplos ou únicos são comuns em gatos, principalmente na raça persa, mas raro em cães.

21. (UFRGS 2018) Considere as afirmações abaixo, sobre diagnóstico radiográfico de afecções da bexiga em cães e gatos.
I. Cálculos vesicais formados por oxalato de cálcio, fosfato triplo ou cistina são radiopacos e podem ser diagnosticados em exames não contrastados.
II. Deslocamento caudal da bexiga pode estar relacionado com hérnia perineal, anomalias congênitas ou uretra curta.
III. Não visibilização da bexiga, em exames radiográficos não contrastados, pode estar relacionada à ruptura da bexiga, efusão peritoneal ou caquexia.
(A) Apenas I.
(B) Apenas II.
(C) ApenasIII.
(D) Apenas II e III.
(E) I, II e III.

22. (UFSM 2021) Com relação aos aspectos radiográficos das doenças esqueléticas do desenvolvimento de cães e gatos, considere as afirmativas a seguir.
I. Comumente os achados radiográficos mais pronunciados são aqueles de alterações degenerativas, os quais podem mascarar a lesão de desenvolvimento original.
II. Eventualmente, forma-se gás dentro do espaço articular de cães com osteocondrose do ombro, causado pelo acúmulo intra-articular do gás nitrogênio em decorrência da pressão negativa induzida pela

@preparatorior1vet

tração durante o posicionamento.
III. Na não união do processo ancôneo, a realização das incidências lateral e craniocaudal possibilita o diagnóstico, pois impede que a sobreposição de uma eventual linha de fise epicondilar seja confundida com a lesão.
IV. Na necrose asséptica da cabeça do fêmur, pode se detectar radiotransparência linear no osso subcondral, achatamento e irregularidade na cabeça do fêmur; conforme a doença progride, ocorre fragmentação do colo femoral.
Está(ão) *correta*(s):
(A) Apenas I.
(B) Apenas I e II.
(C) Apenas II e IV.
(D) Apenas III e IV.
(E) Apenas I, II e III.

23. (UFSM 2021) A causa mais comum de fluido pleural nos cavalos é a extensão da pneumonia bacteriana para o espaço pleural, resultando em pleuropneumonia.
Em relação às alterações no espaço pleural, é correto afirmar que:
(A) A ultrassonografia é superior para avaliar a quantidade, mas não as características do fluido pleural, bem como guiar a toracocentese e, ainda, avaliar a resolução ou o progresso da doença.
(B) O volume do fluido pleural não pode ser estimado com ultrassom, pois quantidades menores que 1 litro não são visibilizadas com esse exame em equinos adultos.
(C) A característica do fluido pleural pode ser inferida pela aparência ultrassonográfica, como fluidos mais ecóicos como sendo menos celulares, mas a toracocentese é necessária para diagnosticar de forma definitiva.
(D) O ultrassom é útil para identificar a presença de adesões fibrinosas, que aparecem como fios ecóicos na efusão entre a superfície pleural do pulmão e a parede torácica.
(E) As alterações pleurais e suas características, como efusão pleural com fibrina, podem ser identificadas radiograficamente em potros.

24. (UFCG 2021) As radiações eletromagnéticas mais conhecidas são a luz, microondas, ondas de rádio, radar, laser, raios X e radiação gama. Qual o fator principal que diferencia a radiação ionizante e não-ionizante?
(A) A quantidade de energia.
(B) A emissão de partículas.
(C) A emissão de fótons.
(D) A emissão de gases.
(E) A estabilidade atômica.

25. (UFCG 2021) Uma cadela Pinscher cruzou com um macho SRD de médio porte, segundo o relato do proprietário, duas vezes maior que a cadela. Aos 50 dias após a cobertura foi levada para ser examinada no HVU e verificou-se acentuado aumento abdominal, seguido de visualização de movimentação de um feto grande. No radiodiagnóstico, qual a principal preocupação do radiologista com a cadela?
(A) Avaliar a idade da gestação.
(B) Capacidade de parir a termo normalmente.
(C) Verificar se o feto estaria vivo.
(D) Presença de feto enfisematoso.
(E) Avaliar a morfologia fetal.

26. (UFCG 2021) Os transdutores usados para ultrassonografia são construídos com materiais de propriedades piezoelétricas e, assim atuam como fonte de vibração produtora de som e detectora de ondas refletidas. Isso quer dizer que a frequência do transdutor depende basicamente _____. Complete o espaço em branco.
(A) Da impedância acústica dos tecidos.
(B) Da distância entre o transdutor e os tecidos.

@preparatorior1vet

(C) Do pulso gerado pelo transdutor.
(D) Da espessura do material piezelétrico.
(E) Da reverberação.

27. (UFCG 2021) Um cão chegou na emergência do HV acometido por atropelamento e com forte suspeita de hemorragia abdominal. Qual a técnica ultrassonográfica indicada para esse paciente:
(A) Ecocardiografia.
(B) US intervencionista.
(C) HOLTER.
(D) TFAST.
(E) AFAST.

28. (UFCG - 2021) A presença de sinais radiográficos de um equino com diminuição do espaço articular, esclerose do osso subcondral, formação de osteófitos marginais e proliferação óssea periosteal envolvendo a articulação tarso- metatársica direita.
(A) Artrite aguda.
(B) Discoespondilite.
(C) Luxação.
(D) Fratura intra-articular.
(E) Doença articular degenerativa.

29. (UFERSA - 2022) (THRALL, 2018) Complete a descrição: A parte terminal da medula espinhal é o cone medular e contém os segmentos sacral e caudal. Em cães, a medula espinhal termina próximo ao nível de ___ ou ___, dependendo da raça, e em ___ nos gatos.
(A) L6; L7; L7;
(B) L5; L6; S1;
(C) L7; S1; L7;
(D) L7; S1; S1.
(E) L5; L6; L6.

30. (UFERSA - 2022) Ao ler estes achados ultrassonográficos: esplenomegalia com parênquima esplênico mosqueado. Gordura hilar esplênica hiperecogênica. Baço dobrado sobre si mesmo. *Doppler* colorido no hilo do baço mostrando completa falta de fluxo sanguíneo, provavelmente a impressão diagnóstica do laudo estaria escrito:
(A) Hemagiossarcoma;
(B) Hemangioma;
(C) Esplenite;
(D) Torção;
(E) Linfoma.

31. (UFERSA - 2022) Na maioria dos exames em Radiologia Veterinária, a maneira mais prática e eficaz de reduzir a radiação espalhada é usar uma grade que é colocada entre o paciente e o receptor, constituído de um sistema de movimentação lateral denominado:
(A) Cabeçote;
(B) Diafragma regulável com localização luminosa;
(C) Diafragma de Potter-Bucky;
(D) Cunha de Stead;
(E) Bloco de Lee-Campbell

32. (UFERSA - 2022) Na ultrassonografia gestacional a combinação da frequência cardíaca fetal (FCF) e o Índice de Resistividade (IR) da artéria umbilical podem ajudar a predizer o parto em cadelas. Um parto poderia estar próximo na seguinte opção:
(A) Redução do IR da artéria umbilical e grandes oscilações entre o máximo e mínimo na FCF;

@preparatorior1vet

(B) Aumento do IR da artéria umbilical e grandes oscilações entre o máximo e mínimo na FCF;
(C) Redução do IR da artéria umbilical e pequenas oscilações entre o máximo e mínimo na FCF;
(D) Aumento do IR da artéria umbilical e pequenas oscilações entre o máximo e mínimo na FCF;
(E) Sem alterações no IR da artéria umbilical e pequenas oscilações entre o máximo e mínimo na FCF;

33. (UFERSA 2022) Sobre a imagem em parênquima hepático, responda:



(A) É uma lesão tipo alvo.
(B) É uma lesão multifocal hipoecóica.
(C) É uma lesão multifocal hiperecóica.
(D) É a vesícula biliar com concreção.
(E) É a vesícula biliar com mucocele.

34. (UFF 2020) Comparando a imagem radiográfica digital com a analógica, no sistema digital.
(A) Há necessidade da manutenção da câmara escura.
(B) É possível fazer um pré-processamento da imagem.
(C) Tem-se armazenamento de imagem consolidado.
(D) Não é possível ajustar o brilho e o contraste da imagem após a exposição.

35. (UFF - 2020) Com relação às fraturas Salter-Harris, as do:
(A) Tipo III ocorrem na cartilagem fisária e na epífise, e geralmente são fraturas articulares.
(B) Tipo IV ocorrem na diáfise, passando pela cartilagem fisária e metáfise.
(C) Tipo V são fraturas por esmagamento ou compressão que envolvem a cartilagem fisária, podendo a radiolucência aumentada da região fisária ser o único sinal radiográfico observado na lesão aguda, embora essa mudança de opacidade muitas vezes não seja reconhecida em radiografias iniciais.
(D) Tipo VII frequentemente causam fechamento tardio de toda ou de parte da cartilagem fisária, levando a deformidades no crescimento.

36. (UFF - 2020) A definição clássica de cisto é:
(A) Imagem de formato ovalado, contornos indefinidos, conteúdo anecogênico com artefato de reverberação.
(B) Imagem de formato arredondado, contornos indefinidos, conteúdo hiperecogênico com artefato de sombra acústica.
(C) Imagem de formato arredondado, contornos definidos, conteúdo anecogênico com artefato de reforço acústico posterior.
(D) Imagem de formato arredondado, contornos definidos, conteúdo anecogênico com artefato de sombra acústica.

37. (UFF - 2020) O janelamento no exame de tomografia computadorizada (TC) permite que o operador aplique uma escala de cinza a uma faixa específica de valores de pixels. O estreitamento da janela de forma a incluir apenas a área de interesse permite a melhor discriminação dos tons de cinza nos tecidos examinados.
São exemplos de janelas utilizadas na TC:
(A) Janela Hounsfield, janela de saturação e janela de contraste.

@preparatorior1vet

(B) Janela Hounsfield, janela de relaxação e janela de Larmor.
(C) Janela Fourier, janela flair e janela stir.
(D) Janela de osso, janela de pulmão e janela de tecido mole.

38. (UFF - 2020) Após exame radiográfico, as alterações relacionadas a pancreatite estão descritas em:
(A) Pâncreas com dimensões aumentadas, parênquima pancreático com radiopacidade aumentada e aumento da delimitação de suas margens.
(B) Espessamento pilórico com dilatação fluida do estômago.
(C) Estreitamento do ângulo da flexura cranial do duodeno descendente proximal, decorrente da discreta distensão duodenal referido como sinal de alça sentinela.
(D) Aumento da radiopacidade de tecidos moles no abdômen médio-cranial direito, deslocamento ventral ou à direita do duodeno descendente proximal que pode estar dilatado por conteúdo gasoso referido como sinal de alça sentinela.

39. (UFF - 2020) As alterações relacionadas a torção testicular na bolsa escrotal após exame de ultrassonografia *Doppler*, estão descritas em:
(A) Testículo hiperecogênico, retração do epidídimo e do cordão espermático e fluxo aumentado ao *Doppler*.
(B) Testículo anecogênico, retração do epidídimo e do cordão espermático e fluxo aumentado ao *Doppler*.
(C) Testículo hipoecogênico, retração do epidídimo e do cordão espermático e fluxo aumentado ao *Doppler*.
(D) Testículo hipoecogênico, dilatação do epidídimo e do cordão espermático e fluxo ausente ou reduzido ao *Doppler*.

40. (UFG-2022) Qual é o artefato de imagem que caracteriza normalidade na ultrassonografia pulmonar?
(A) Cauda de cometa.
(B) Sombra acústica.
(C) Espessura de corte.
(D) Reforço acústico.

41. (UFG-2022) Quando a imagem radiográfica está toda escura, da periferia ao centro, a ação que deve ser tomada em relação à quilovoltagem e miliamperagem, respectivamente, é:
(A) Reduzir e aumentar.
(B) Reduzir e reduzir.
(C) Aumentar e aumentar.
(D) Aumentar e reduzir.

42. (UFMG - 2023) Sobre radioproteção, marque a Letra *CORRETA*:
(A) A utilização de EPI de chumbo garante total segurança e proteção radiológica.
(B) A solicitação do exame radiográfico deve ser justificada, considerando sempre que o benefício do exame deve ser superior aos riscos da exposição à radiação ionizante.
(C) É indicado que um técnico de radiologia faça o posicionamento radiográfico de todos os pacientes para garantir a qualidade de aquisição de imagem, evitando repetições.
(D) Devem ser realizadas quantas repetições forem necessárias para aquisição de uma imagem radiográfica com o posicionamento ideal.

43. (UFMG - 2023) A tomografia computadorizada possui a vantagem de adquirir imagens de alta resolução e sem sobreposição de estruturas. Sobre tomografia computadorizada indique a Letra *CORRETA*:
(A) As estruturas anatômicas que compõem o encéfalo possuem densidades muito diferentes, por isso a tomografia computadorizada é a mais indicada para avaliação do sistema nervoso central.
(B) A aquisição das imagens de tomografia computadorizada é rápida, por isso não é necessária a utilização de contenção química dos pacientes durante o exame.
(C) O contraste iodado é utilizado na aquisição de imagens contrastadas de tomografia computadorizada, favorecendo a identificação de estruturas vasculares e da perfusão tecidual.

@preparatorior1vet

(D) Conteúdos líquidos e tecidos moles não podem ser diferenciados nas imagens de tomografia computadorizada, e podem ser descritos como áreas hipodensas de aspecto homogêneo.

44. (UFMG 2023) Quanto ao exame ultrassonográfico abdominal, marque a Letra *CORRETA*.
(A) Pielectasia pode ser observada em animais com terapia com diuréticos, fluidoterapia, malformações congênitas, pielonefrite ou obstrução urinária inferior.
(B) Os ureteres distendidos tornam- se acentuadamente tortuosos, podendo ser confundidos com alças intestinais normais.
(C) O edema pancreático apresenta-se com fissuras hiperecogênicas no interior do parênquima espessado e aumentado de volume.
(D) A presença de efusão abdominal em quantidade razoável reduz a capacidade de diferenciação dos órgãos desta cavidade.

45. (UFMG - 2023) Quanto ao exame ultrassonográfico abdominal, marque a Letra *CORRETA*.
(A) O fígado normal de cães e gatos é composto por quatro lobos facilmente individualizados pelo exame ultrassonográfico.
(B) Em um cão saudável o baço apresenta-se com menor ecogenicidade em relação aos demais órgãos como fígado e cortical renal.
(C) A origem de massas abdominais, particularmente de grandes dimensões, é facilmente identificada pelo exame ultrassonográfico.
(D) A média da taxa observada de peristaltismo do estômago ao ultrassom é de 4 a 5 contrações por minuto em cães normais.

46. (UFMG - 2023) No exame ultrassonográfico gestacional das cadelas, o início da formação e individualização das câmaras cardíacas do feto ocorre por volta de:
(A) 60 dias de gestação.
(B) 55 dias de gestação.
(C) 40 dias de gestação.
(D) 35 dias de gestação.

47. (UFCG - 2015) Sobre o exame ultrassonográfico, marque a questão *INCORRETA*:
(A) É um método de diagnóstico por imagem invasivo, pois permite aquisição de imagens dinâmicas, em tempo real, possibilitando o estudo do movimento das estruturas corporais;
(B) É um método de diagnóstico por imagem não invasivo e permite a aquisição de imagens dinâmicas, em tempo real;
(C) É um método de diagnóstico por imagem não invasivo, pois permite a aquisição de imagens dinâmicas, em tempo real, possibilitando o estudo do movimento das estruturas corporais;
(D) É um método de diagnóstico por imagem não invasivo, pois não apresenta nenhum efeitos nocivos significativos dentro das especificações de uso diagnóstico;
(E) É um método de diagnóstico por imagem não invasivo, pois não possui radiação ionizante.

48. (UFCG - 2015) Existem três modos de exibição dos ecos, onde dois desses são os mais utilizados frequentemente na rotina médica veterinária. Quais são:
(A) Modo-A (amplitude) e Modo-B (brilho ou bidimensional);
(B) Modo-B (bidimensional) e Modo-C (catódico);
(C) Modo-D (documental) e Modo-M (movimento);
(D) Modo-A (amplitude) e Modo-C (catódico);
(E) Modo-B (bidimensional) e Modo-M (movimento).

49. (UFCG - 2015) Que métodos de diagnóstico por imagem utilizam a radiação ionizante como fonte geradora de imagens:
(A) Radiografia convencional, radiografia digital e ressonância magnética;
(B) Ressonância magnética, radiografia digital e ultrassonografia;

@preparatorior1vet

(C) Radiografia digital; tomografia computadorizada e ultrassonografia;
(D) Radiografia convencional e digital; tomografia computadorizada;
(E) Tomografia computadorizada e ressonância magnética.

50. (UFCG - 2015) Que efeitos biológicos podem ser provocados na mulher técnica de radiologia pelo excesso de exposição à radiação cumulativa durante a gestação, que pode ser prejudicial a sua saúde e a do feto.
(A) Efeitos citotóxicos e carcinogênico;
(B) Efeitos carcinogênicos, genético e teratogênico;
(C) Efeitos genético e carcinogênico;
(D) Efeitos somático e teratogênico;
(E) Efeitos somático e carcinogênico.

51. (UFCG - 2015) O que faz diferenciar a tonalidade da imagem radiográfica dos ossos, com característica radiopaca, em relação aos tecidos moles, com aspecto radioluscente (músculos e tendões)?
(A) A densidade dos ossos superior aos tecidos moles;
(B) A espessura dos ossos longos;
(C) A resistência dos ossos maior que os tecidos moles.
(D) O peso (nº) atômico do cálcio dos ossos superior aos tecidos moles;
(E) Não há diferença radiográfica.

52. (UFCG - 2015) Comparando o ultrassom em relação ao radiodiagnóstico. É verdade que:
(A) Não há vantagem do ultrassom sobre o radiodiagnóstico, pois não há diferença na indicação clínica;
(B) O ultrassom não gera uma boa imagem sobre estruturas rígidas, como os ossos, portanto, o radiodiagnóstico é a melhor indicação para as fraturas ósseas;
(C) O ultrassom gera uma boa imagem sobre estruturas rígidas, como os ossos, portanto, é melhor indicado no diagnóstico de fraturas ósseas;
(D) O ultrassom possui radiação ionizante e é indicado no diagnóstico de gestação em cadelas com mais de 25 dias de gestação;
(E) O radiodiagnóstico é um método de diagnóstico por imagem não invasivo e é indicado no diagnóstico de gestação em cadelas com menos de 45 dias de gestação.

53. (UFERSA - 2017) A técnica de *Doppler* colorido (Color Flow) fornece o mapeamento vascular em cores e determina a presença ou ausência de fluxo. Foi padronizado que o movimento sanguíneo em direção transdutor é colorido de:
(A) Azul;
(B) Vermelho.
(C) Laranja;
(D) Mosaico;
(E) Branco.

54. (UFERSA - 2017) A cardiomiopatia dilatada é uma condição que acomete o miocárdio, principalmente em raças de cães grandes. Na radiografia podem ser visibilizadas as alterações:
(A) Marcante dilatação atrial esquerda;
(B) Edema hilar;
(C) Efusão pleural;
(D) Nenhuma das alternativas anteriores;
(E) As alternativas "a", "b" e "c" estão *corretas*.

55. (UFERSA - 2017) Dentre as aplicações da ecocardiografia modo M estão, exceto:
(A) Espessura de paredes;
(B) Avaliação espectral dos fluxos através do recurso *Doppler*;
(C) Movimentação das válvulas;

@preparatorior1vet

(D) Dimensão de grandes vasos;
(E) Quantificação do tamanho das câmaras cardíacas.

56. (UFERSA - 2017) Numa radiografia foi visualizado uma redução generalizada do diâmetro traqueal. Esta enfermidade é causada pela sobreposição das cartilagens traqueais e um encurtamento ou ausência da membrana traqueal. Acomete 39% dos cães braquiocefálicos:
(A) Hipoplasia traqueal;
(B) Traqueíte;
(C) Colapso traqueal;
(D) Ruptura traqueal;
(E) Paralisia traqueal.

57. (UFERSA - 2017) Um cão, 5 meses, com histórico de inapetência e vômitos há 3 dias. O tutor relatou ver o animal comendo pedaços do tapete da sala um dia antes do aparecimento dos sinais clínicos. Sendo solicitado um exame ultrassonográfico, foi possível visibilizar intestino delgado com paredes espessas, com aparência de multicamadas ("sinal de anel"). Em direção oral, o lúmen do órgão apresentava-se anecóico, sugerindo acúmulo de líquido. O diagnóstico do caso acima é sugestivo de:
(A) Ruptura gástrica por corpo estranho.
(B) Doença intestinal inflamatória.
(C) Intussuscepção intestinal.
(D) Estenose de piloro.
(E) Enterite piogranuolomatosa;

58. (UFERSA - 2017) A solução de sulfato de bário a 30% é recomendada na radiografia contrastada de intestino delgado em cães:
(A) Com evidências clássicas de obstruções na radiografia simples;
(B) Com gás livre peritoneal;
(C) Com ruptura intestinal;
(D) Pacientes debilitados.
(E) Com suspeita de corpo estranho.

59. (UFERSA - 2017) A displasia de cotovelo é um termo não específico utilizado para descrever um conjunto de lesões do desenvolvimento da articulação do cotovelo. Em muitos casos, o diagnóstico radiográfico é obtido pela identificação de alterações secundárias que acompanham a lesão primária. Entretanto, a alteração, o(s) porte(s) e sexo mais frequentes encontradas na displasia do cotovelo são:
(A) Não união do processo ancôneo, raças medianas/grandes e machos;
(B) Fragmentação do processo coronoide medial da ulna, raças medianas/grandes e machos;
(C) Osteocondrose do côndilo medial do úmero, raças medianas/grandes e machos;
(D) Não união do epicôndilo medial do úmero, raças grandes e fêmeas;
(E) Não união do processo ancôneo, raças pequenas e machos;

60. (UFF - 2023) A trombose vascular, envolvendo a veia cava caudal (VCC), a aorta ou os vasos ilíacos pode ser detectada ao exame ultrassonográfico (US) em cães e gatos, sendo indicada especialmente nos casos suspeitos de doença tromboembólica. Na avaliação ultrassonográfica de um animal com suspeita de trombose aguda, é correto afirmar que:
(A) O trombo agudo pode aparecer como uma estrutura heterogênea devido à lise dos coágulos sanguíneos e recanalização.
(B) A incapacidade de compressão luminal venosa pode auxiliar na identificação do trombo agudo.
(C) Somente o *Doppler* colorido pode ser utilizado na identificação do trombo agudo porque o fluxo turbulento dificulta a realização do *Doppler* pulsado e do Power *Doppler*.
(D) Os trombos agudos aparecem inicialmente como placas lineares hiperecóicas depositadas na superfície dorsal da aorta abdomina**l.**

@preparatorior1vet